

建設技術研究所 正会員 倉島幸夫
・田代洋一

1.はじめに

河道法規を計画する上では、地形工地利用計画等の条件によってやむを得ず曲線部を設ける場合がある。特に急勾配の斜流木路で、連続して湾曲部を有する場合は、湾曲の流木の状態は非常に複雑となり、衝撃波等によって発生する木位上界も、当然単一の湾曲部のそれとは異なるものと思う。したがって本実験では、木路幅 $B = 40\text{cm}$ 、曲率半径 $R = 80\text{cm}$ 、湾曲内角 $\theta = 60^\circ, 45^\circ$ の複湾曲を設けた矩形木路を用いて、木路勾配 $i = 1/30, 1/100, 1/300, 1/200$ で、流量 $Q = 40\text{L/s}$ について主に湾曲部の流況、流速分布、木位上界等の観測を行ない、今後の資料を得ることとする。

2. 湾曲部における流況および流速分布について

図-1 (a) に示す木位等高線および流速分布図は $Q = 40\text{L/s}$, $i = 1/30$ の最も急勾配の木路の場合であり、湾曲部始端から上流 1.00m における木位は $H = 6.5\text{cm}$ 、フルード数 $F_1 = 2.0$ 程度の射流である。なお、図中における矢印は、各断面の木路底面から 3cm 上層における流速を表わしたものである。

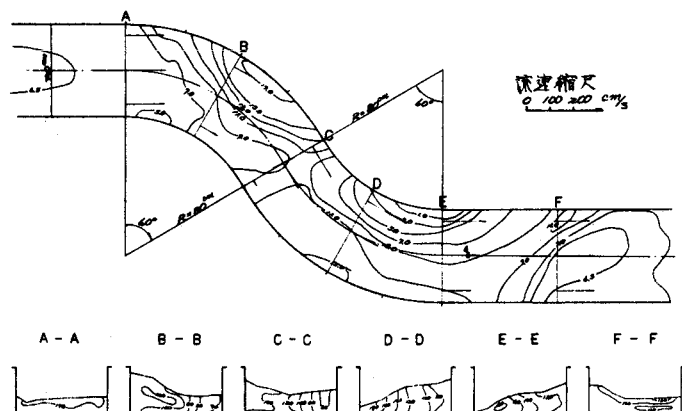


図-1 木位等高線および流速分布図

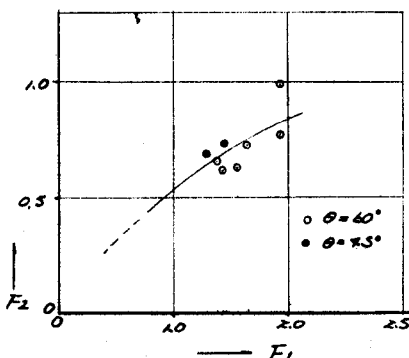


図-1(b) 湾曲部始端と流入時フルード数

全体としては上昇し逆流を起すまでにはならないが、流速が低下は著しい。湾曲変曲部付近においては、流速は凹岸側に片寄るが、木位は流入木位に対して約2割増程度となり、フルード数 F_1 は 1.0 ないし、それ以下ではほぼ常流となる。これは衝撃波の発生等による木位上界ではなく離岸等による木頭損失によるものであり、この損失量がどの程度となるかを流入部の下と、オーバン曲部終端(湾曲変曲部)の下の両者として、図示したものか、図-2である。このため、オーバン曲部の木位上界はオーバン曲部より幾分低下するが、オーバン曲部の流況とよく異なり、常流木路にみられる遠心力の影響による木位上界を起す。

しかし、C断面において片寄り流速は徐々に増しながらオーバン曲部凹岸側は低下し、木位は湾曲部終端付近で非常に低下する。凹岸側ではほぼ湾曲部中央から幾分上流付近で最大木位となる。湾曲部始端から 0.5m

湾曲部に流入して流れは、湾曲部始端から衝撃波を発生し、ほぼB断面中心とA断面の両岸を結ぶ線上から段波を形成しながら凹岸側壁に沿う木位は、側壁による摩擦損失、射流が側壁に突き当たること等による流速木頭の減少とともに、除々に上昇し、最高木位は直線部中心線上の延長線上と、凹岸側壁との交差付近に生じる。

凸岸湾曲部始端付近では、幾分木位が低下し、よく離状態となるが、衝撃波の伝播が非常に速く、木位は流入木位と

下流からは、流速は平均的に射流状態にむどるが、渦曲の影響は大きく衝撃波はかなり下流まで続く。勾配が緩やかになれば、当然水位上昇も小さくなるので度合も小さいが、この流況はいずれの勾配でもほとんど同様の状態で流下する。

3. 渾曲部の水位上昇について

図-3は、渾曲部側壁に沿う右岸の水位上昇 Δh を流入水深 H_1 に対する上昇率 $\Delta h/H_1$ として、縦断距離に対応して描いたものである。同図にはオービューブルの水位上昇を次のイッペンの近似式により求めて示してある。

$$\sin B_0 = \frac{1}{F_1}, \tan B_0 = \frac{B}{(R + \frac{z}{2}) \tan B_0}, R = \frac{V_1^2}{g} \sin^2(B_0 \pm \frac{\theta}{2}) \quad \text{ここで } B_0: \text{マッハ角}$$

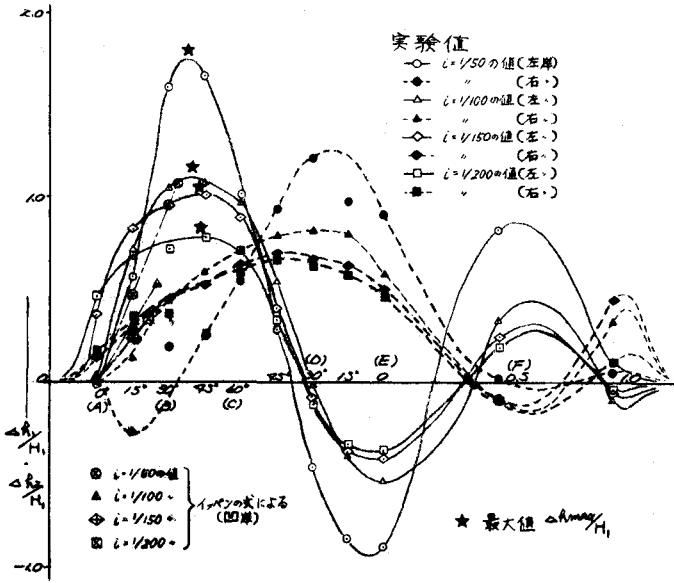


図-3 水位上昇

B_0 : 最高水位発生位置に表わす角度

F_1 : 流入時のマッハ数

θ : 90° における水位

計算値(○△◆□)では、実験値よりもオービューブルの最高水位発生する位置が、かなり上流側に発生する。またその位置までの範囲の水位上昇量は、いずれの勾配でも小さめになっている。そして、マッハ数 F_1 が程度変化する場合には、最高水位付近から常流となることから、上流側の比エネルギーの速度水頭が高度水頭に変遷されるとして求めてみた。この値が★で表わしてあるのであり、ほんままであることが示されて、

$$\Delta h_{\max} = \frac{V_1^2}{2g}, h = H_1 + \frac{V_1^2}{2g}$$

H_1 : 流入水位

V_1 : 流入流速

したがって、マッハ数の小さな射流木路では、イッペンの式では適応されず、最高水位の位置においても、頂点水深に達し得ないようなマッハ数の大きな射流木路に適応するのではないかと思う。

オービューブルについては、変曲点付近では常流となることから、常流木路の流入水位に対する上昇量 Δh_{\max} を $\frac{V_1^2}{2g}$ 式で平均流速を用いて計算してみたが、いずれも実験値より大きな値となる。これは渦曲点付近の流速分布から明らかのように、流速の片寄りがあり、水位上昇に影響する中心より凹岸側の流速が著しく小さく、平均流速を用いて遠心加速度 r/V_1^2 で Δh を求めては、やはり過大な値となる。

また、左右岸の水位上昇率は、概してサインカーブを描きながら減少する。

4. 結論

- ① マッハ数 F_1 程度の木路では、オービューブルの木衝部は、河道中心の延長線と凹岸側壁の交差付近に生ずる。
- ② オービューブル凹岸側の最大水位上昇量は、流入する比エネルギーの速度水頭を高水頭水頭に変換せずに程度となる。
- ③ 渾曲部変曲点付近では、常流になり、その水位もほぼ流入水位の1.5倍程度となる。
- ④ 勾配 $1/50$ の木路のオービューブルの上昇量より約4割程度減少する。勾配が緩やかになれば、それでだけ上昇量は小さくなる。
- ⑤ 木衝部には、ほぼ凹岸側渾曲部中央に生じ、水位の著しく低下する位置は渾曲部終端付近に生ずる。

おわりに

複渾曲部の左右岸の水位上昇の傾向も一応確認され、オービューブルの水位上昇量も変曲点付近の流速がどの程度減少するかを把握すれば、実験式の説明も可能であろうと思われる。今後の実験でこれらの点を検討する予定である。